

Eingabe: Farbmétrisches Offset-Reflektiv-System ORS18

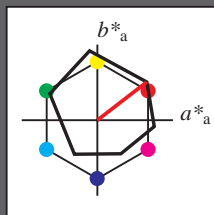
für Buntton $h^* = lab^*h = 38/360 = 0.105$

lab^*tch und lab^*nch

D50: Buntton O

LCH*Ma: 48 83 38

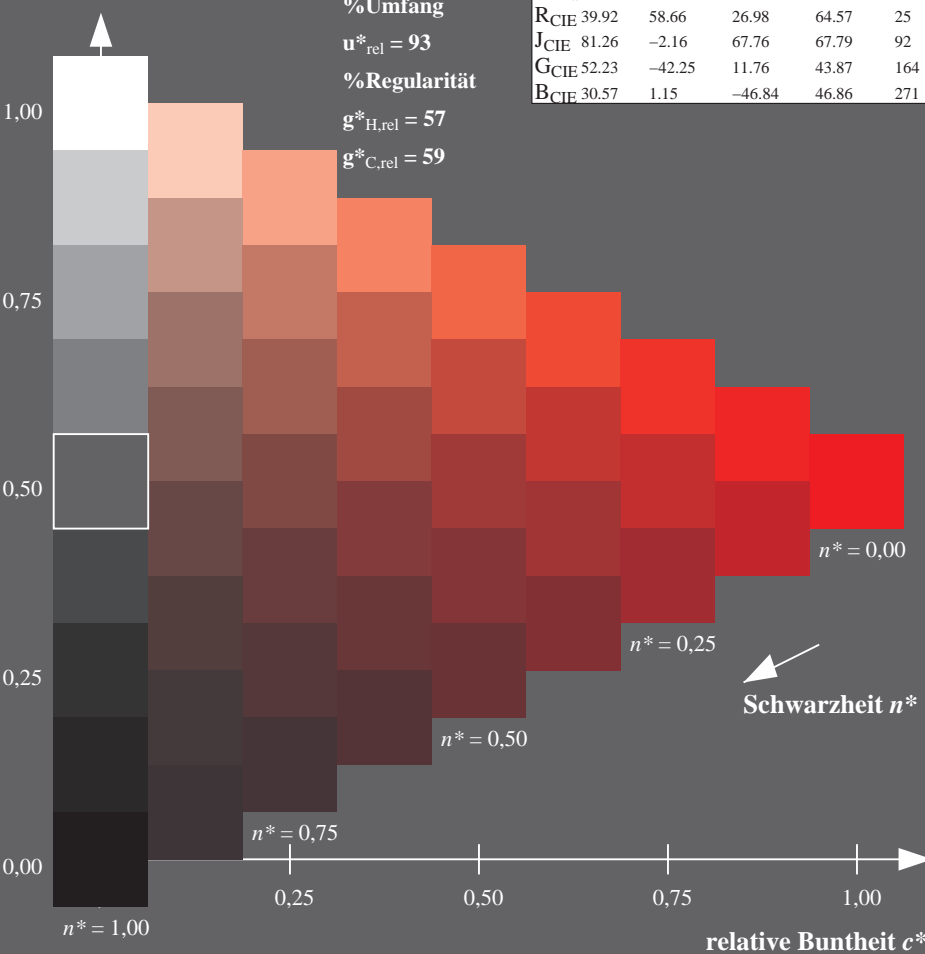
olv*Ma: 1.0 0.0 0.0



ORS18; adaptierte CIELAB-Daten

	$L^*=L^*_a$	a^*_a	b^*_a	$C^*_{ab,a}$	$h^*_{ab,a}$
O _{Ma}	47.94	65.39	50.52	82.63	38
Y _{Ma}	90.37	-10.26	91.75	92.32	96
L _{Ma}	50.9	-62.83	34.96	71.91	151
C _{Ma}	58.62	-30.34	-45.01	54.3	236
V _{Ma}	25.72	31.1	-44.4	54.22	305
M _{Ma}	48.13	75.28	-8.36	75.74	354
N _{Ma}	18.01	0.0	0.0	0.0	0
W _{Ma}	95.41	0.0	0.0	0.0	0
R _{CIE}	39.92	58.66	26.98	64.57	25
J _{CIE}	81.26	-2.16	67.76	67.79	92
G _{CIE}	52.23	-42.25	11.76	43.87	164
B _{CIE}	30.57	1.15	-46.84	46.86	271

Dreiecks-Helligkeit t^*



Ausgabe: Farbmétrisches Fernseh-Licht-System TLS00

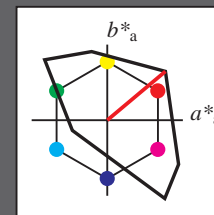
für Buntton $h^* = lab^*h = 40/360 = 0.111$

lab^*tch und lab^*nch

D50: Buntton O

LCH*Ma: 51 100 40

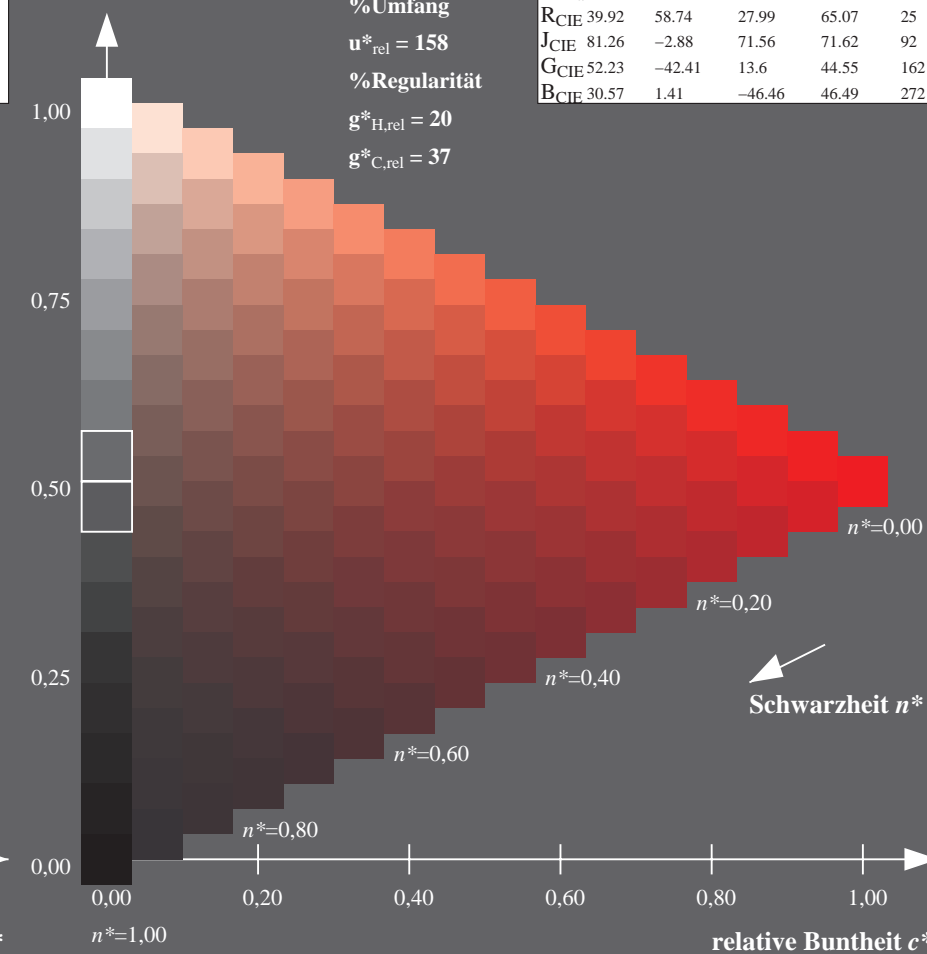
olv*Ma: 1.0 0.0 0.0



TLS00; adaptierte CIELAB-Daten

	$L^*=L^*_a$	a^*_a	b^*_a	$C^*_{ab,a}$	$h^*_{ab,a}$
O _{Ma}	50.5	76.92	64.55	100.42	40
Y _{Ma}	92.66	-20.69	90.75	93.08	103
L _{Ma}	83.63	-82.75	79.9	115.04	136
C _{Ma}	86.88	-46.16	-13.55	48.12	196
V _{Ma}	30.39	76.06	-103.59	128.52	306
M _{Ma}	57.3	94.35	-58.41	110.97	328
N _{Ma}	0.01	0.0	0.0	0.0	0
W _{Ma}	95.41	0.0	0.0	0.0	0
R _{CIE}	39.92	58.74	27.99	65.07	25
J _{CIE}	81.26	-2.88	71.56	71.62	92
G _{CIE}	52.23	-42.41	13.6	44.55	162
B _{CIE}	30.57	1.41	-46.46	46.49	272

Dreiecks-Helligkeit t^*



Siehe ähnliche Dateien: <http://www.ps.bam.de/QG90/>
 Technische Information: <http://www.ps.bam.de> Version 2.1, io=0,0, CIELAB

BAM-Registrierung: 20060101-QG90/10S/S90G00FP.PS/.PDF BAM-Material: Code=rh4ta
 Anwendung für Beurteilung und Messung von Drucker- oder Monitorssystemen
 /QG90/ Form: 1/10, Serie: 1/1, Seite: 1
 Scherzhang 1

QG900-7, 9stufige Reihen für konstanten CIELAB Buntton 38/360 = 0.105 (links)

16stufige Reihen für konstanten CIELAB Buntton 40/360 = 0.111 (rechts)

BAM-Prüfvorlage QG90; Farbmétrik-Systeme ORS18 & TLS00 input: $cmY0^* setcmykcolor$

D50: 9 und 16stufige Farbreihen für 10 Bunttöne

output: $cmY0^*/000n^* setcmykcolor$

Eingabe: Farbmimetrisches Offset-Reflektiv-System ORS18

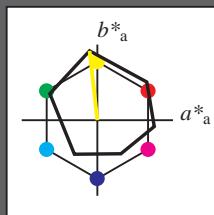
für Buntton $h^* = lab^*h = 96/360 = 0.268$

lab^*tch und lab^*nch

D50: Buntton Y

LCH*Ma: 90 92 96

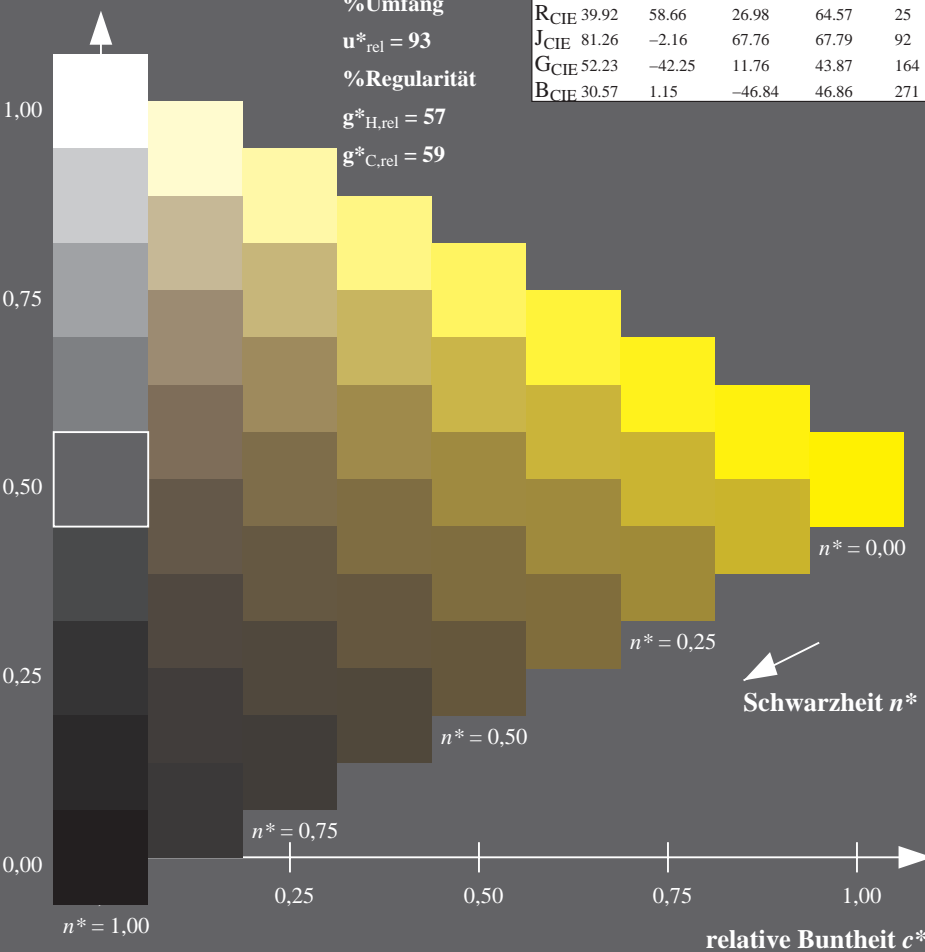
olv*Ma: 1.0 1.0 0.0



ORS18; adaptierte CIELAB-Daten

	$L^*=L^*_a$	a^*_a	b^*_a	$C^*_{ab,a}$	$h^*_{ab,a}$
O _{Ma}	47.94	65.39	50.52	82.63	38
Y _{Ma}	90.37	-10.26	91.75	92.32	96
L _{Ma}	50.9	-62.83	34.96	71.91	151
C _{Ma}	58.62	-30.34	-45.01	54.3	236
V _{Ma}	25.72	31.1	-44.4	54.22	305
M _{Ma}	48.13	75.28	-8.36	75.74	354
N _{Ma}	18.01	0.0	0.0	0.0	0
W _{Ma}	95.41	0.0	0.0	0.0	0
R _{CIE}	39.92	58.66	26.98	64.57	25
J _{CIE}	81.26	-2.16	67.76	67.79	92
G _{CIE}	52.23	-42.25	11.76	43.87	164
B _{CIE}	30.57	1.15	-46.84	46.86	271

Dreiecks-Helligkeit t^*



%Umfang

$u^*_{rel} = 93$

%Regularität

$g^*_{H,rel} = 57$

$g^*_{C,rel} = 59$

Ausgabe: Farbmimetrisches Fernseh-Licht-System TLS00

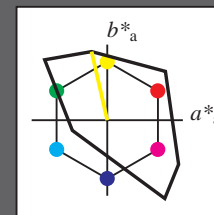
für Buntton $h^* = lab^*h = 103/360 = 0.286$

lab^*tch und lab^*nch

D50: Buntton Y

LCH*Ma: 93 93 103

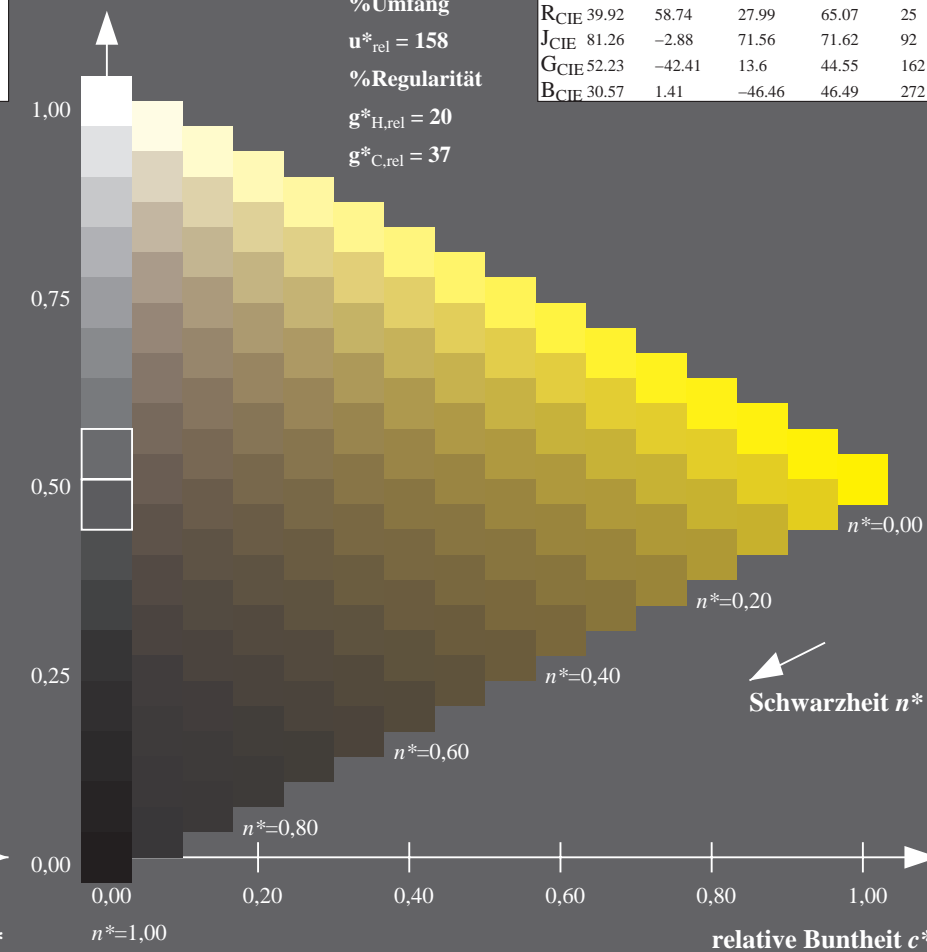
olv*Ma: 1.0 1.0 0.0



TLS00; adaptierte CIELAB-Daten

	$L^*=L^*_a$	a^*_a	b^*_a	$C^*_{ab,a}$	$h^*_{ab,a}$
O _{Ma}	50.5	76.92	64.55	100.42	40
Y _{Ma}	92.66	-20.69	90.75	93.08	103
L _{Ma}	83.63	-82.75	79.9	115.04	136
C _{Ma}	86.88	-46.16	-13.55	48.12	196
V _{Ma}	30.39	76.06	-103.59	128.52	306
M _{Ma}	57.3	94.35	-58.41	110.97	328
N _{Ma}	0.01	0.0	0.0	0.0	0
W _{Ma}	95.41	0.0	0.0	0.0	0
R _{CIE}	39.92	58.74	27.99	65.07	25
J _{CIE}	81.26	-2.88	71.56	71.62	92
G _{CIE}	52.23	-42.41	13.6	44.55	162
B _{CIE}	30.57	1.41	-46.46	46.49	272

Dreiecks-Helligkeit t^*



%Umfang

$u^*_{rel} = 158$

%Regularität

$g^*_{H,rel} = 20$

$g^*_{C,rel} = 37$

QG900-7, 9stufige Reihen für konstanten CIELAB Buntton 96/360 = 0.268 (links)

16stufige Reihen für konstanten CIELAB Buntton 103/360 = 0.286 (rechts)

BAM-Prüfvorlage QG90; Farbmimetrik-Systeme ORS18 & TLS00 input: $cmY0^* setcmykcolor$

D50: 9 und 16stufige Farbreihen für 10 Bunttöne

output: $cmY0^*/000n^* setcmykcolor$

Siehe ähnliche Dateien: <http://www.ps.bam.de/QG90/>
 Technische Information: <http://www.ps.bam.de> Version 2.1, io=0,0, CIELAB

BAM-Registrierung: 20060101-QG90/10S/S90G01FP.PS/.PDF BAM-Material: Code=rh4ta
 Anwendung für Beurteilung und Messung von Drucker- oder Monitorssystemen
 /QG90/ Form: 2/0, Serie: 1/1, Seite: 2
 Seitenlung 2

Eingabe: Farbmétrisches Offset-Reflektiv-System ORS18

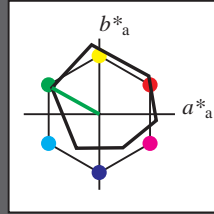
für Buntton $h^* = lab^*h = 151/360 = 0.419$

lab^*tch und lab^*nch

D50: Buntton L

LCH*Ma: 51 72 151

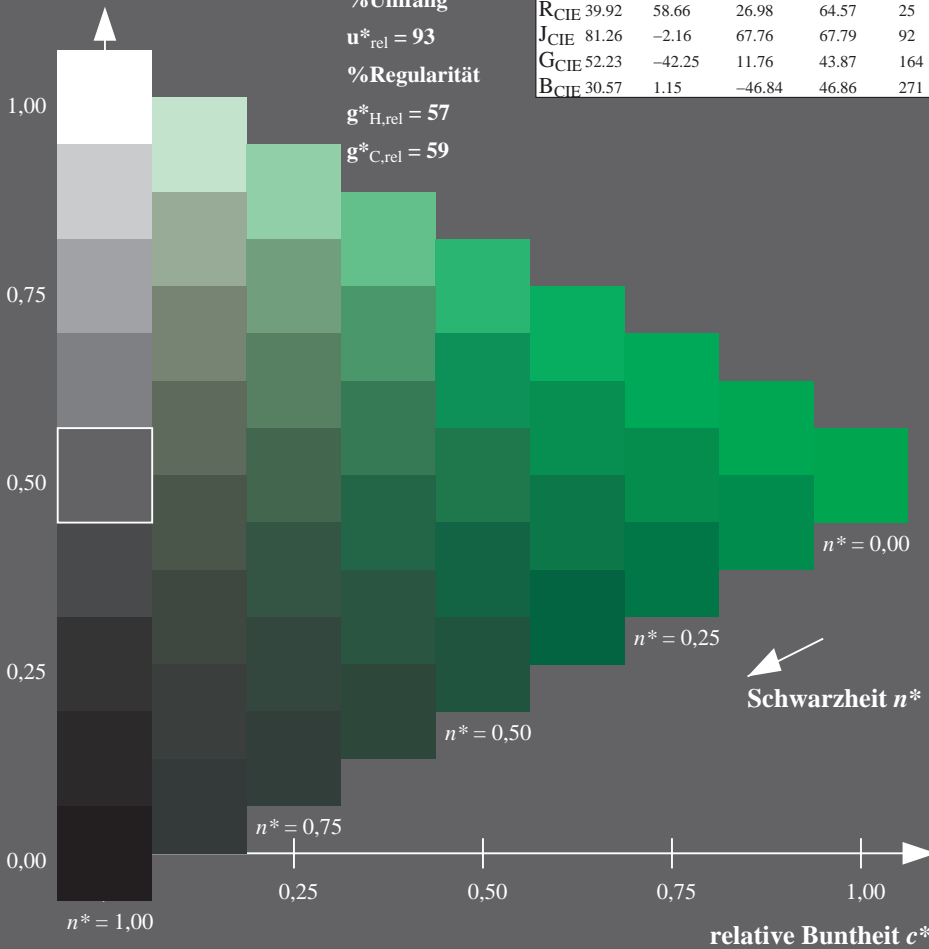
olv*Ma: 0.0 1.0 0.0



ORS18; adaptierte CIELAB-Daten

	$L^*=L^*_a$	a^*_a	b^*_a	$C^*_{ab,a}$	$h^*_{ab,a}$
O _{Ma}	47.94	65.39	50.52	82.63	38
Y _{Ma}	90.37	-10.26	91.75	92.32	96
L _{Ma}	50.9	-62.83	34.96	71.91	151
C _{Ma}	58.62	-30.34	-45.01	54.3	236
V _{Ma}	25.72	31.1	-44.4	54.22	305
M _{Ma}	48.13	75.28	-8.36	75.74	354
N _{Ma}	18.01	0.0	0.0	0.0	0
W _{Ma}	95.41	0.0	0.0	0.0	0
R _{CIE}	39.92	58.66	26.98	64.57	25
J _{CIE}	81.26	-2.16	67.76	67.79	92
G _{CIE}	52.23	-42.25	11.76	43.87	164
B _{CIE}	30.57	1.15	-46.84	46.86	271

Dreiecks-Helligkeit t^*



%Umfang

$u^*_{rel} = 93$

%Regularität

$g^*_{H,rel} = 57$

$g^*_{C,rel} = 59$

Schwarzheit n^*

Ausgabe: Farbmétrisches Fernseh-Licht-System TLS00

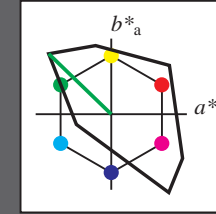
für Buntton $h^* = lab^*h = 136/360 = 0.378$

lab^*tch und lab^*nch

D50: Buntton L

LCH*Ma: 84 115 136

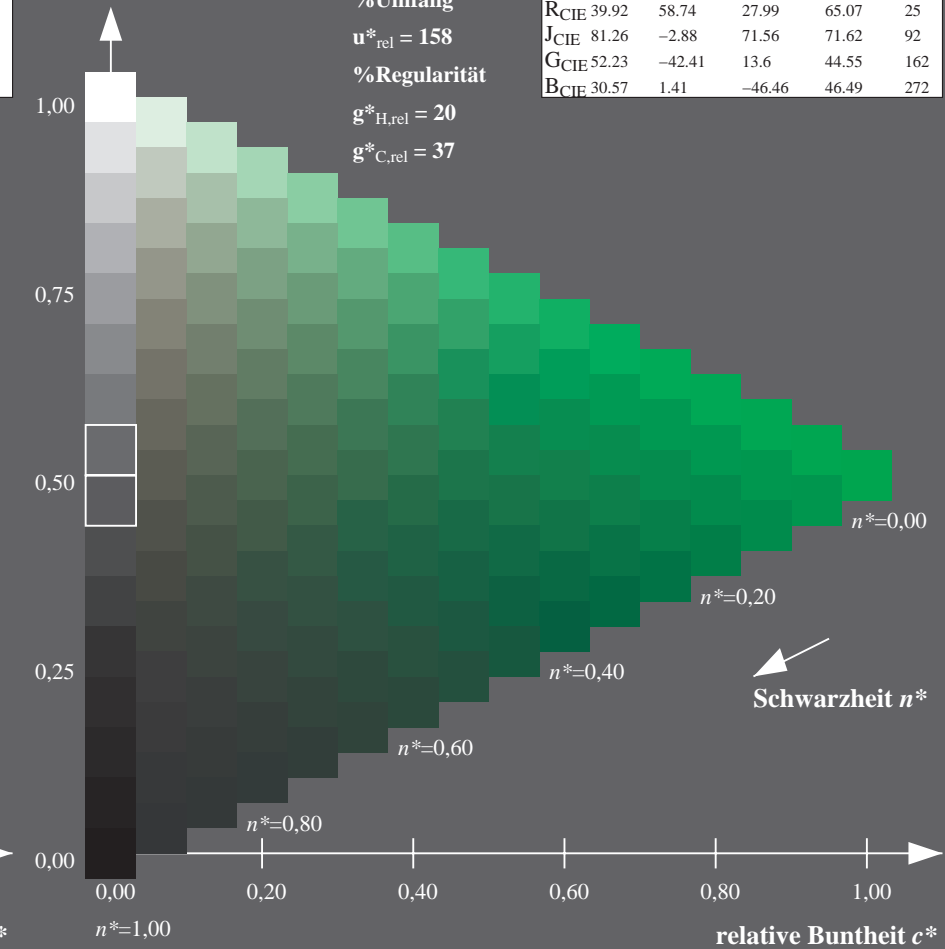
olv*Ma: 0.0 1.0 0.0



TLS00; adaptierte CIELAB-Daten

	$L^*=L^*_a$	a^*_a	b^*_a	$C^*_{ab,a}$	$h^*_{ab,a}$
O _{Ma}	50.5	76.92	64.55	100.42	40
Y _{Ma}	92.66	-20.69	90.75	93.08	103
L _{Ma}	83.63	-82.75	79.9	115.04	136
C _{Ma}	86.88	-46.16	-13.55	48.12	196
V _{Ma}	30.39	76.06	-103.59	128.52	306
M _{Ma}	57.3	94.35	-58.41	110.97	328
N _{Ma}	0.01	0.0	0.0	0.0	0
W _{Ma}	95.41	0.0	0.0	0.0	0
R _{CIE}	39.92	58.74	27.99	65.07	25
J _{CIE}	81.26	-2.88	71.56	71.62	92
G _{CIE}	52.23	-42.41	13.6	44.55	162
B _{CIE}	30.57	1.41	-46.46	46.49	272

Dreiecks-Helligkeit t^*



%Umfang

$u^*_{rel} = 158$

%Regularität

$g^*_{H,rel} = 20$

$g^*_{C,rel} = 37$

Schwarzheit n^*

QG900-7, 9stufige Reihen für konstanten CIELAB Buntton 151/360 = 0.419 (links)

16stufige Reihen für konstanten CIELAB Buntton 136/360 = 0.378 (rechts)

BAM-Prüfvorlage QG90; Farbmétrik-Systeme ORS18 & TLS00 input: $cmY0^* setcmykcolor$

D50: 9 und 16stufige Farbreihen für 10 Bunttöne

output: $cmY0^*/000n^* setcmykcolor$

Siehe ähnliche Dateien: <http://www.ps.bam.de/QG90/>
 Technische Information: <http://www.ps.bam.de> Version 2.1, io=0,0, CIELAB

BAM-Registrierung: 20060101-QG90/10S/S90G02FP.PS/.PDF BAM-Material: Code=rh4ta
 Anwendung für Beurteilung und Messung von Drucker- oder Monitorssystemen
 /QG90/ Form: 3/0, Serie: 1/1, Seite: 3
 Seitenlung 3

Eingabe: Farbmétrisches Offset-Reflektiv-System ORS18

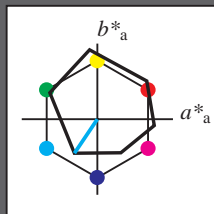
für Buntton $h^* = lab^*h = 236/360 = 0.656$

lab^*tch und lab^*nch

D50: Buntton C

LCH*Ma: 59 54 236

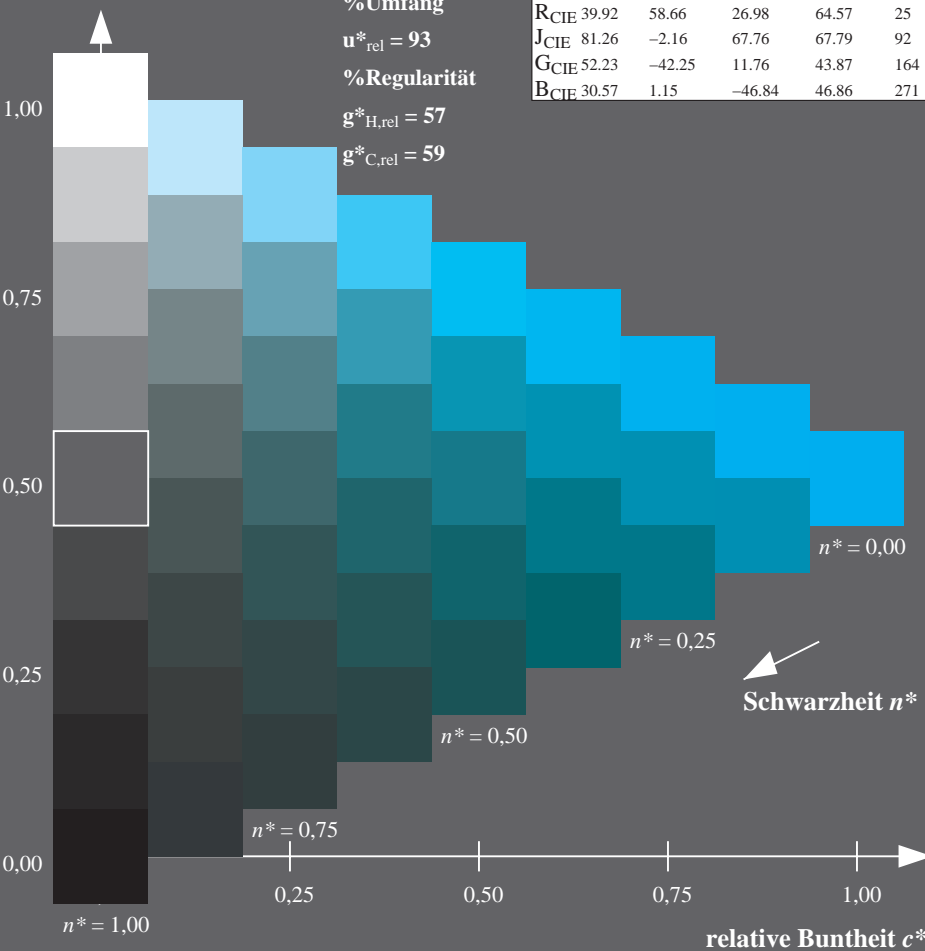
olv*Ma: 0.0 1.0 1.0



ORS18; adaptierte CIELAB-Daten

	$L^*=L^*_a$	a^*_a	b^*_a	$C^*_{ab,a}$	$h^*_{ab,a}$
O _{Ma}	47.94	65.39	50.52	82.63	38
Y _{Ma}	90.37	-10.26	91.75	92.32	96
L _{Ma}	50.9	-62.83	34.96	71.91	151
C _{Ma}	58.62	-30.34	-45.01	54.3	236
V _{Ma}	25.72	31.1	-44.4	54.22	305
M _{Ma}	48.13	75.28	-8.36	75.74	354
N _{Ma}	18.01	0.0	0.0	0.0	0
W _{Ma}	95.41	0.0	0.0	0.0	0
R _{CIE}	39.92	58.66	26.98	64.57	25
J _{CIE}	81.26	-2.16	67.76	67.79	92
G _{CIE}	52.23	-42.25	11.76	43.87	164
B _{CIE}	30.57	1.15	-46.84	46.86	271

Dreiecks-Helligkeit t^*



Ausgabe: Farbmétrisches Fernseh-Licht-System TLS00

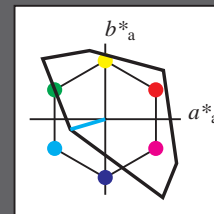
für Buntton $h^* = lab^*h = 196/360 = 0.545$

lab^*tch und lab^*nch

D50: Buntton C

LCH*Ma: 87 48 196

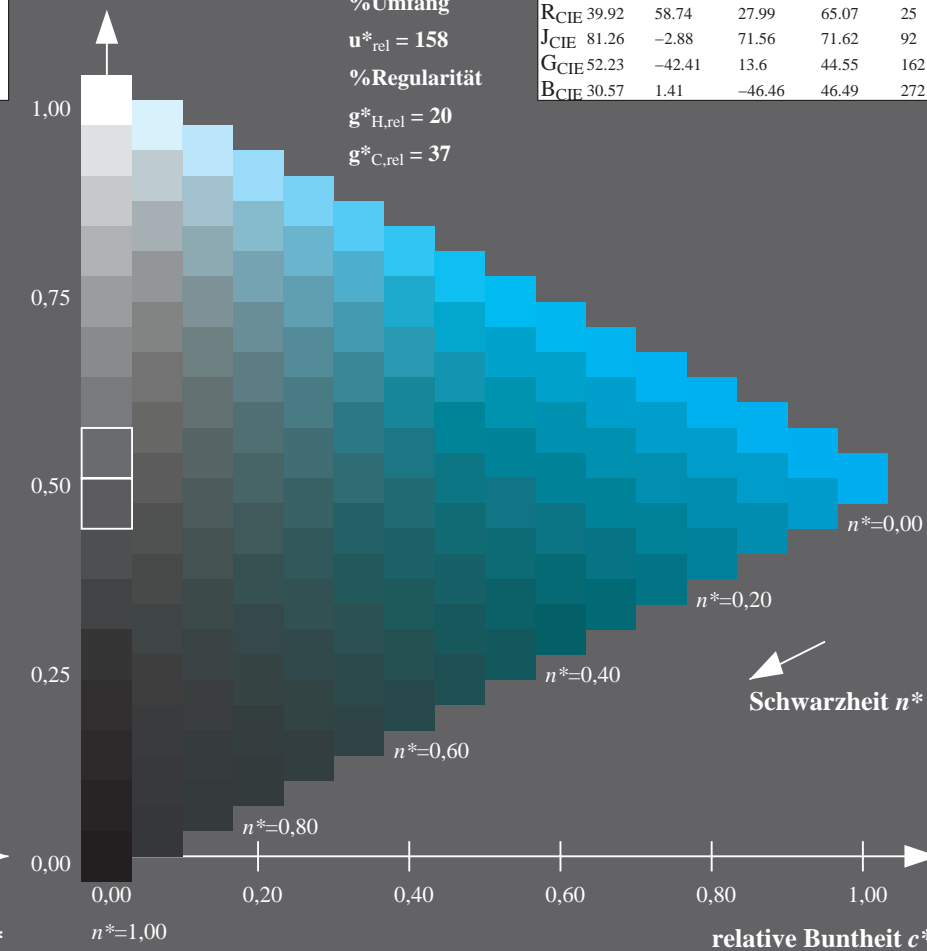
olv*Ma: 0.0 1.0 1.0



TLS00; adaptierte CIELAB-Daten

	$L^*=L^*_a$	a^*_a	b^*_a	$C^*_{ab,a}$	$h^*_{ab,a}$
O _{Ma}	50.5	76.92	64.55	100.42	40
Y _{Ma}	92.66	-20.69	90.75	93.08	103
L _{Ma}	83.63	-82.75	79.9	115.04	136
C _{Ma}	86.88	-46.16	-13.55	48.12	196
V _{Ma}	30.39	76.06	-103.59	128.52	306
M _{Ma}	57.3	94.35	-58.41	110.97	328
N _{Ma}	0.01	0.0	0.0	0.0	0
W _{Ma}	95.41	0.0	0.0	0.0	0
R _{CIE}	39.92	58.74	27.99	65.07	25
J _{CIE}	81.26	-2.88	71.56	71.62	92
G _{CIE}	52.23	-42.41	13.6	44.55	162
B _{CIE}	30.57	1.41	-46.46	46.49	272

Dreiecks-Helligkeit t^*



QG900-7, 9stufige Reihen für konstanten CIELAB Buntton 236/360 = 0.656 (links)

16stufige Reihen für konstanten CIELAB Buntton 196/360 = 0.545 (rechts)

BAM-Prüfvorlage QG90; Farbmétrik-Systeme ORS18 & TLS00 input: $cmy0^* setcmykcolor$

D50: 9 und 16stufige Farbreihen für 10 Bunttöne

output: $cmy0^*/000n^* setcmykcolor$

Siehe ähnliche Dateien: <http://www.ps.bam.de/QG90/>
 Technische Information: <http://www.ps.bam.de> Version 2.1, io=0,0, CIELAB

BAM-Registrierung: 20060101-QG90/10S/S90G03FP.PS/.PDF BAM-Material: Code=rh4ta
 Anwendung für Beurteilung und Messung von Drucker- oder Monitorssystemen
 /QG90/ Form: 4/0, Serie: 1/1, Seite: 4
 Seitenhang 4

Eingabe: Farbmatisches Offset-Reflektiv-System ORS18

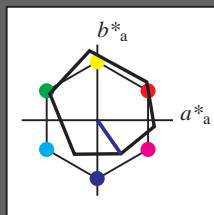
für Buntton $h^* = lab^*h = 305/360 = 0.847$

lab^*tch und lab^*nch

D50: Buntton V

LCH*Ma: 26 54 305

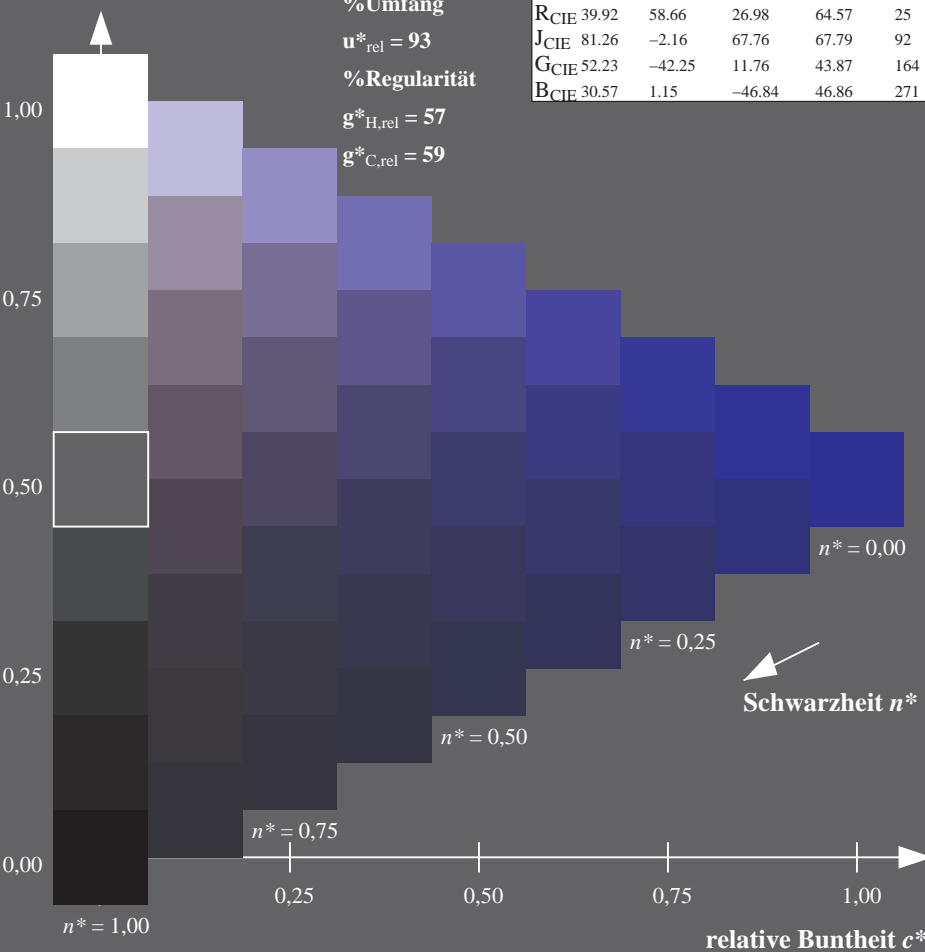
olv*Ma: 0.0 0.0 1.0



ORS18; adaptierte CIELAB-Daten

	$L^*=L^*_a$	a^*_a	b^*_a	$C^*_{ab,a}$	$h^*_{ab,a}$
O _{Ma}	47.94	65.39	50.52	82.63	38
Y _{Ma}	90.37	-10.26	91.75	92.32	96
L _{Ma}	50.9	-62.83	34.96	71.91	151
C _{Ma}	58.62	-30.34	-45.01	54.3	236
V _{Ma}	25.72	31.1	-44.4	54.22	305
M _{Ma}	48.13	75.28	-8.36	75.74	354
N _{Ma}	18.01	0.0	0.0	0.0	0
W _{Ma}	95.41	0.0	0.0	0.0	0
R _{CIE}	39.92	58.66	26.98	64.57	25
J _{CIE}	81.26	-2.16	67.76	67.79	92
G _{CIE}	52.23	-42.25	11.76	43.87	164
B _{CIE}	30.57	1.15	-46.84	46.86	271

Dreiecks-Helligkeit t^*



%Umfang

$u^*_{rel} = 93$

%Regularität

$g^*_{H,rel} = 57$

$g^*_{C,rel} = 59$

Ausgabe: Farbmatisches Fernseh-Licht-System TLS00

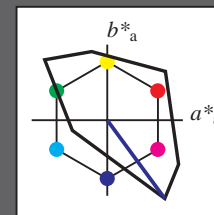
für Buntton $h^* = lab^*h = 306/360 = 0.851$

lab^*tch und lab^*nch

D50: Buntton V

LCH*Ma: 30 129 306

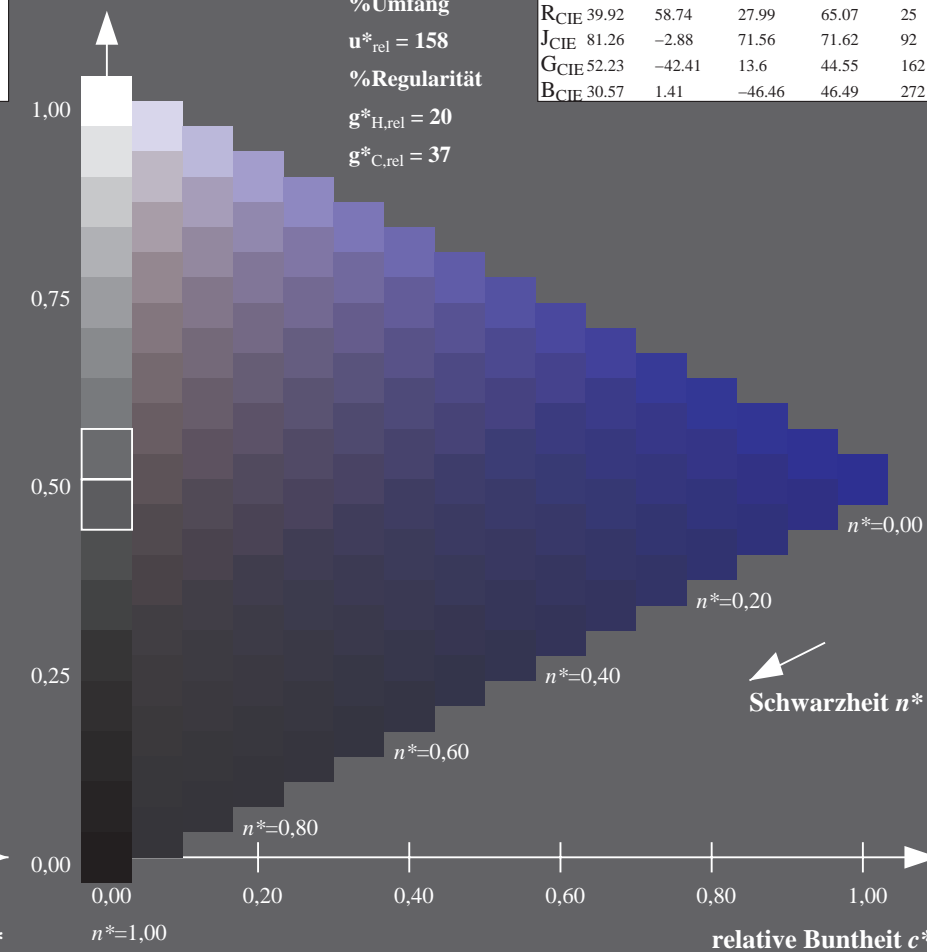
olv*Ma: 0.0 0.0 1.0



TLS00; adaptierte CIELAB-Daten

	$L^*=L^*_a$	a^*_a	b^*_a	$C^*_{ab,a}$	$h^*_{ab,a}$
O _{Ma}	50.5	76.92	64.55	100.42	40
Y _{Ma}	92.66	-20.69	90.75	93.08	103
L _{Ma}	83.63	-82.75	79.9	115.04	136
C _{Ma}	86.88	-46.16	-13.55	48.12	196
V _{Ma}	30.39	76.06	-103.59	128.52	306
M _{Ma}	57.3	94.35	-58.41	110.97	328
N _{Ma}	0.01	0.0	0.0	0.0	0
W _{Ma}	95.41	0.0	0.0	0.0	0
R _{CIE}	39.92	58.74	27.99	65.07	25
J _{CIE}	81.26	-2.88	71.56	71.62	92
G _{CIE}	52.23	-42.41	13.6	44.55	162
B _{CIE}	30.57	1.41	-46.46	46.49	272

Dreiecks-Helligkeit t^*



%Umfang

$u^*_{rel} = 158$

%Regularität

$g^*_{H,rel} = 20$

$g^*_{C,rel} = 37$

QG900-7, 9stufige Reihen für konstanten CIELAB Buntton 305/360 = 0.847 (links)

16stufige Reihen für konstanten CIELAB Buntton 306/360 = 0.851 (rechts)

BAM-Prüfvorlage QG90; Farbmatrik-Systeme ORS18 & TLS00 input: $cmY0^* setcmykcolor$

D50: 9 und 16stufige Farbreihen für 10 Bunttöne

output: $cmY0^*/000n^* setcmykcolor$

Siehe ähnliche Dateien: <http://www.ps.bam.de/QG90/>
 Technische Information: <http://www.ps.bam.de> Version 2.1, io=0,0, CIELAB

BAM-Registrierung: 20060101-QG90/10S/S90G04FP.PS/.PDF BAM-Material: Code=rh4ta
 Anwendung für Beurteilung und Messung von Drucker- oder Monitorssystemen
 /QG90/ Form: 5/10, Serie: 1/1, Seite: 5
 Seitenlung 5

Eingabe: Farbmétrisches Offset-Reflektiv-System ORS18

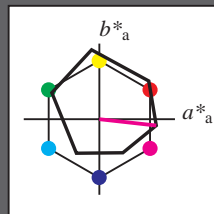
für Buntton $h^* = lab^*h = 354/360 = 0.982$

lab^*tch und lab^*nch

D50: Buntton M

LCH*Ma: 48 76 354

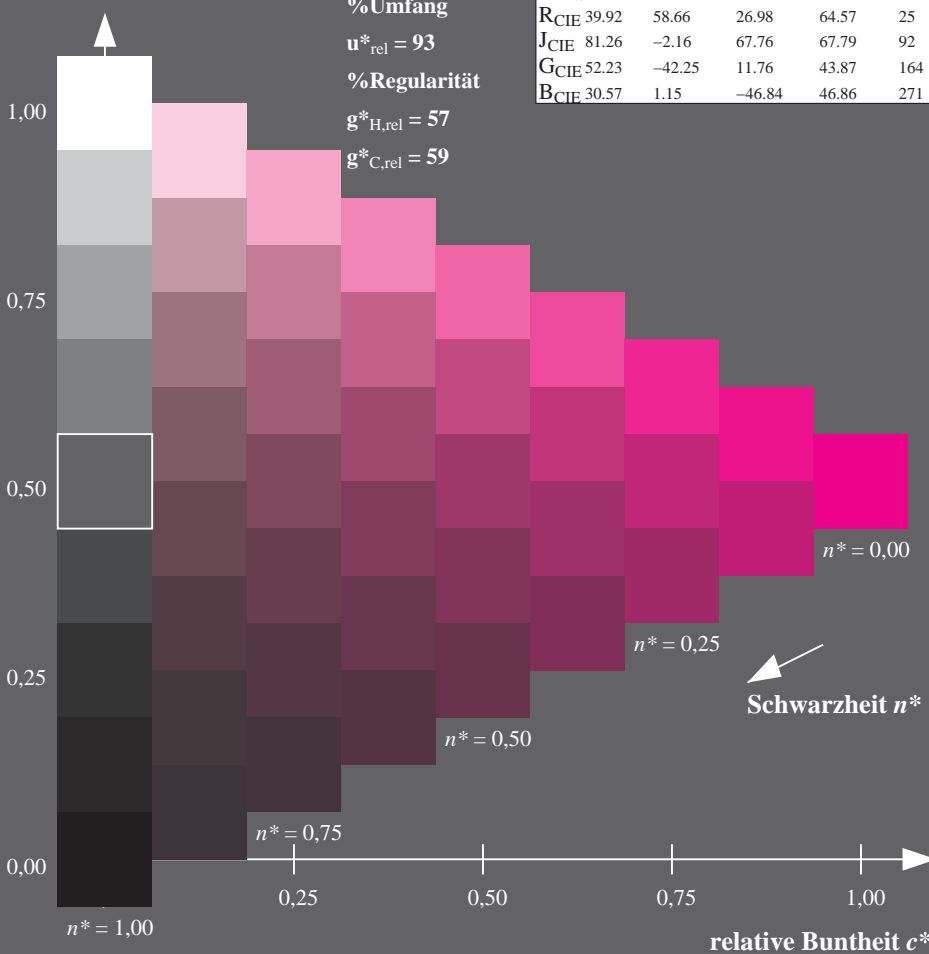
olv*Ma: 1.0 0.0 1.0



ORS18; adaptierte CIELAB-Daten

	$L^*=L^*_a$	a^*_a	b^*_a	$C^*_{ab,a}$	$h^*_{ab,a}$
O _{Ma}	47.94	65.39	50.52	82.63	38
Y _{Ma}	90.37	-10.26	91.75	92.32	96
L _{Ma}	50.9	-62.83	34.96	71.91	151
C _{Ma}	58.62	-30.34	-45.01	54.3	236
V _{Ma}	25.72	31.1	-44.4	54.22	305
M _{Ma}	48.13	75.28	-8.36	75.74	354
N _{Ma}	18.01	0.0	0.0	0.0	0
W _{Ma}	95.41	0.0	0.0	0.0	0
R _{CIE}	39.92	58.66	26.98	64.57	25
J _{CIE}	81.26	-2.16	67.76	67.79	92
G _{CIE}	52.23	-42.25	11.76	43.87	164
B _{CIE}	30.57	1.15	-46.84	46.86	271

Dreiecks-Helligkeit t^*



Ausgabe: Farbmétrisches Fernseh-Licht-System TLS00

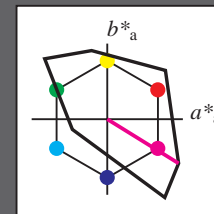
für Buntton $h^* = lab^*h = 328/360 = 0.912$

lab^*tch und lab^*nch

D50: Buntton M

LCH*Ma: 57 111 328

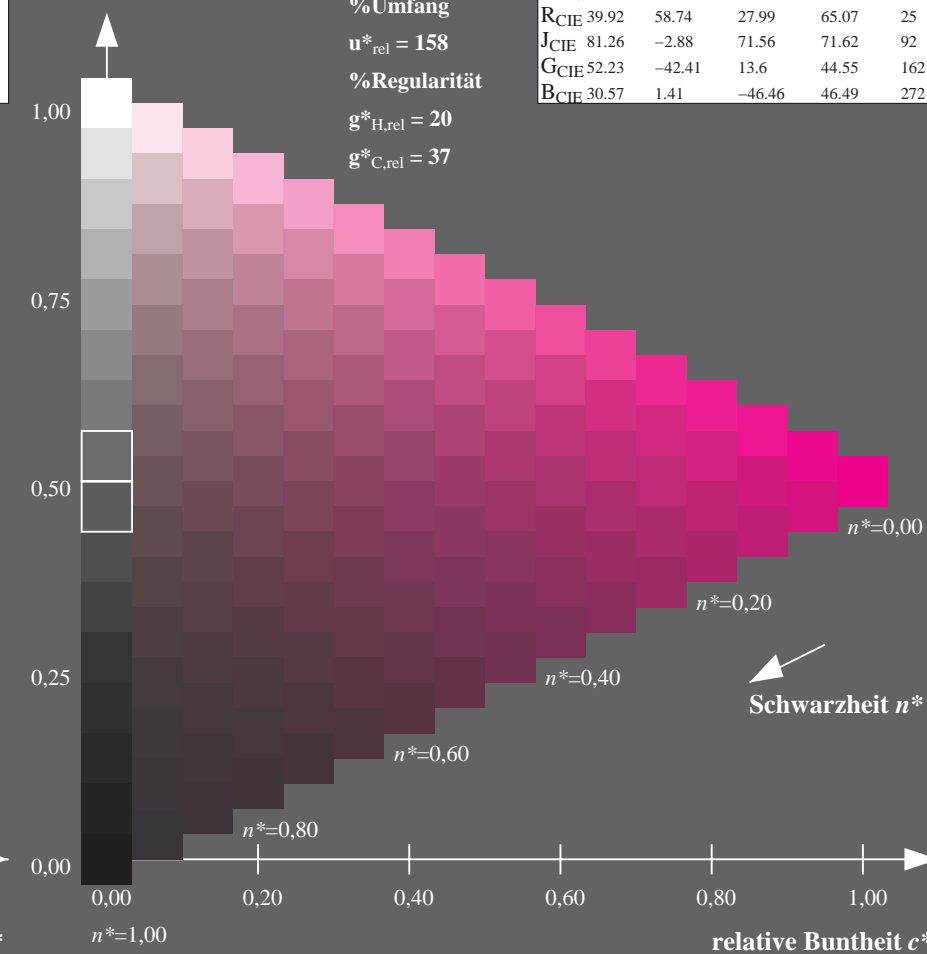
olv*Ma: 1.0 0.0 1.0



TLS00; adaptierte CIELAB-Daten

	$L^*=L^*_a$	a^*_a	b^*_a	$C^*_{ab,a}$	$h^*_{ab,a}$
O _{Ma}	50.5	76.92	64.55	100.42	40
Y _{Ma}	92.66	-20.69	90.75	93.08	103
L _{Ma}	83.63	-82.75	79.9	115.04	136
C _{Ma}	86.88	-46.16	-13.55	48.12	196
V _{Ma}	30.39	76.06	-103.59	128.52	306
M _{Ma}	57.3	94.35	-58.41	110.97	328
N _{Ma}	0.01	0.0	0.0	0.0	0
W _{Ma}	95.41	0.0	0.0	0.0	0
R _{CIE}	39.92	58.74	27.99	65.07	25
J _{CIE}	81.26	-2.88	71.56	71.62	92
G _{CIE}	52.23	-42.41	13.6	44.55	162
B _{CIE}	30.57	1.41	-46.46	46.49	272

Dreiecks-Helligkeit t^*



QG900-7, 9stufige Reihen für konstanten CIELAB Buntton 354/360 = 0.982 (links)

16stufige Reihen für konstanten CIELAB Buntton 328/360 = 0.912 (rechts)

BAM-Prüfvorlage QG90; Farbmétrik-Systeme ORS18 & TLS00 input: $cmY0^* setcmykcolor$
 D50: 9 und 16stufige Farbreihen für 10 Bunttöne

output: $cmY0^*/000n^* setcmykcolor$

BAM-Registrierung: 20060101-QG90/10S/S90G05FP.PS/.PDF BAM-Material: Code=rh4t4
 Anwendung für Beurteilung und Messung von Drucker- oder Monitorssystemen
 /QG90/ Form: 6/10, Serie: 1/1, Seite: 6
 Seitenhang 6

Eingabe: Farbmatisches Offset-Reflektiv-System ORS18

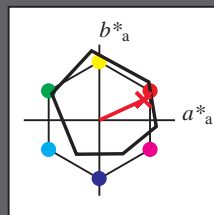
für Buntton $h^* = lab^*h = 25/360 = 0.069$

lab^*tch und lab^*nch

D50: Buntton R

LCH*Ma: 48 75 25

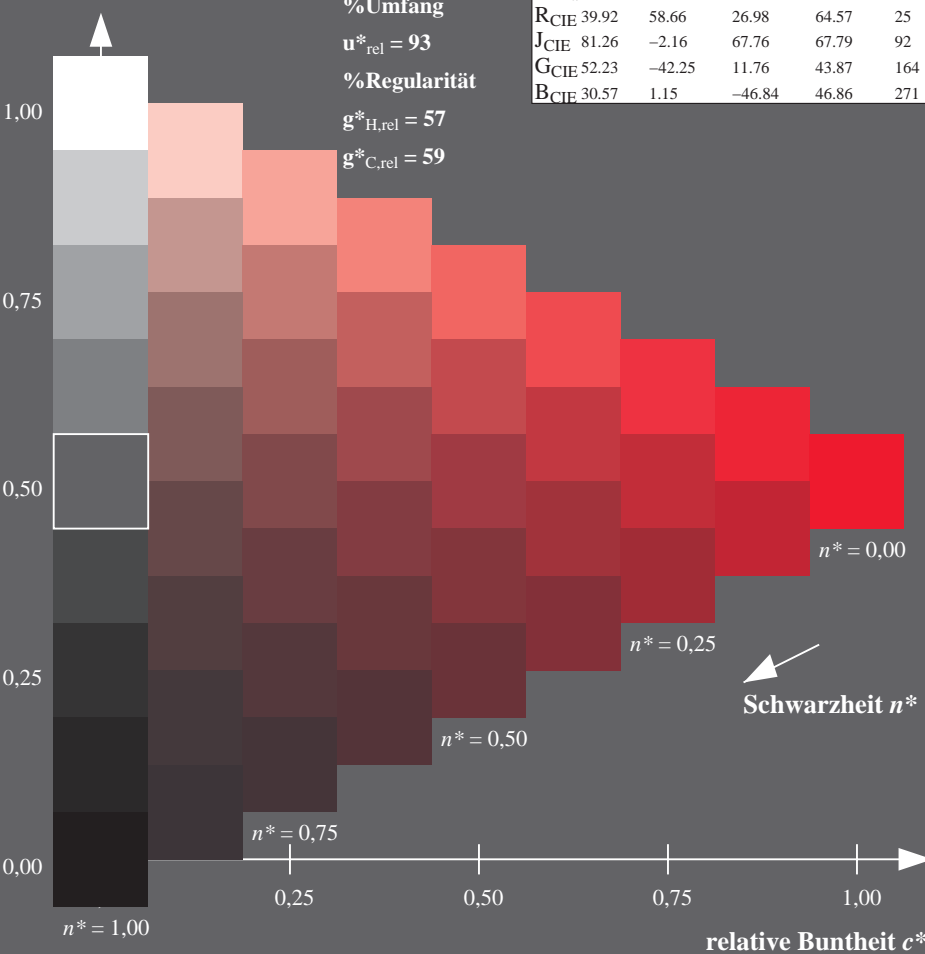
olv*Ma: 1.0 0.0 0.32



ORS18; adaptierte CIELAB-Daten

	$L^*=L^*_a$	a^*_a	b^*_a	$C^*_{ab,a}$	$h^*_{ab,a}$
O _{Ma}	47.94	65.39	50.52	82.63	38
Y _{Ma}	90.37	-10.26	91.75	92.32	96
L _{Ma}	50.9	-62.83	34.96	71.91	151
C _{Ma}	58.62	-30.34	-45.01	54.3	236
V _{Ma}	25.72	31.1	-44.4	54.22	305
M _{Ma}	48.13	75.28	-8.36	75.74	354
N _{Ma}	18.01	0.0	0.0	0.0	0
W _{Ma}	95.41	0.0	0.0	0.0	0
R _{CIE}	39.92	58.66	26.98	64.57	25
J _{CIE}	81.26	-2.16	67.76	67.79	92
G _{CIE}	52.23	-42.25	11.76	43.87	164
B _{CIE}	30.57	1.15	-46.84	46.86	271

Dreiecks-Helligkeit t^*



Ausgabe: Farbmatisches Fernseh-Licht-System TLS00

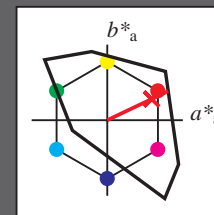
für Buntton $h^* = lab^*h = 25/360 = 0.071$

lab^*tch und lab^*nch

D50: Buntton R

LCH*Ma: 52 89 25

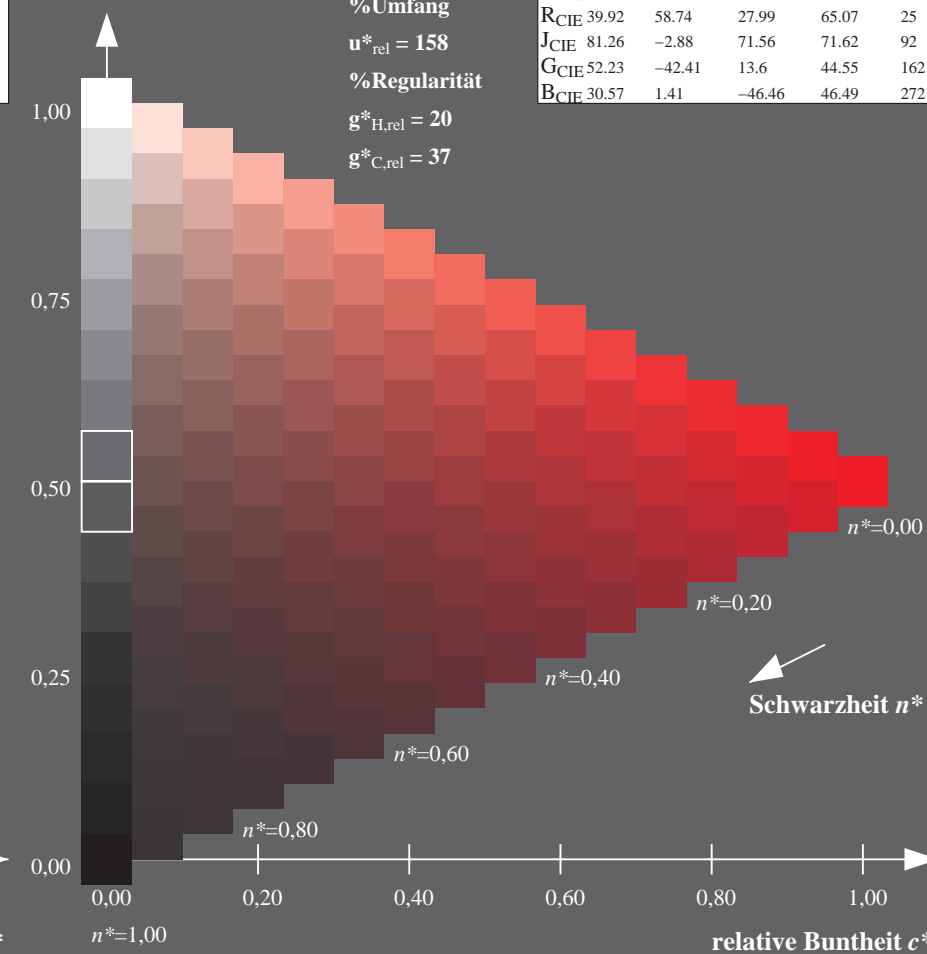
olv*Ma: 1.0 0.0 0.21



TLS00; adaptierte CIELAB-Daten

	$L^*=L^*_a$	a^*_a	b^*_a	$C^*_{ab,a}$	$h^*_{ab,a}$
O _{Ma}	50.5	76.92	64.55	100.42	40
Y _{Ma}	92.66	-20.69	90.75	93.08	103
L _{Ma}	83.63	-82.75	79.9	115.04	136
C _{Ma}	86.88	-46.16	-13.55	48.12	196
V _{Ma}	30.39	76.06	-103.59	128.52	306
M _{Ma}	57.3	94.35	-58.41	110.97	328
N _{Ma}	0.01	0.0	0.0	0.0	0
W _{Ma}	95.41	0.0	0.0	0.0	0
R _{CIE}	39.92	58.74	27.99	65.07	25
J _{CIE}	81.26	-2.88	71.56	71.62	92
G _{CIE}	52.23	-42.41	13.6	44.55	162
B _{CIE}	30.57	1.41	-46.46	46.49	272

Dreiecks-Helligkeit t^*



Siehe ähnliche Dateien: <http://www.ps.bam.de/QG90/>
 Technische Information: <http://www.ps.bam.de> Version 2.1, io=0,0, CIELAB

BAM-Registrierung: 20060101-QG90/10S/S90G06FP.PS/.PDF BAM-Material: Code=rh4ta
 Anwendung für Beurteilung und Messung von Drucker- oder Monitorssystemen
 /QG90/ Form: 7/10, Serie: 1/1, Seite: 7
 Seitenhang 7

QG900-7, 9stufige Reihen für konstanten CIELAB Buntton 25/360 = 0.069 (links)

16stufige Reihen für konstanten CIELAB Buntton 25/360 = 0.071 (rechts)

BAM-Prüfvorlage QG90; Farbmatrik-Systeme ORS18 & TLS00 input: $cmY0^* setcmykcolor$
 D50: 9 und 16stufige Farbreihen für 10 Bunttöne
 output: $cmY0^*/000n^* setcmykcolor$

Eingabe: Farbmétrisches Offset-Reflektiv-System ORS18

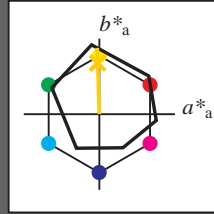
für Buntton $h^* = lab^*h = 92/360 = 0.255$

lab^*tch und lab^*nch

D50: Buntton J

LCH*Ma: 86 88 92

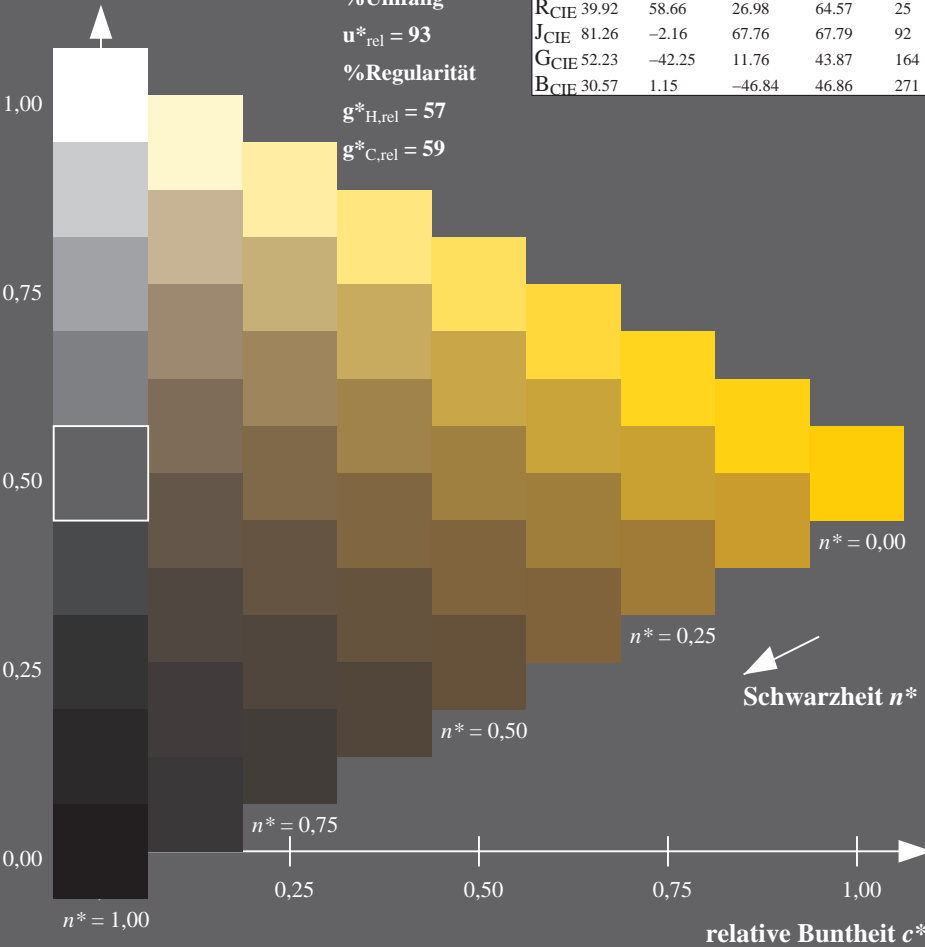
olv*Ma: 1.0 0.9 0.0



ORS18; adaptierte CIELAB-Daten

	$L^*=L^*_a$	a^*_a	b^*_a	$C^*_{ab,a}$	$h^*_{ab,a}$
O _{Ma}	47.94	65.39	50.52	82.63	38
Y _{Ma}	90.37	-10.26	91.75	92.32	96
L _{Ma}	50.9	-62.83	34.96	71.91	151
C _{Ma}	58.62	-30.34	-45.01	54.3	236
V _{Ma}	25.72	31.1	-44.4	54.22	305
M _{Ma}	48.13	75.28	-8.36	75.74	354
N _{Ma}	18.01	0.0	0.0	0.0	0
W _{Ma}	95.41	0.0	0.0	0.0	0
R _{CIE}	39.92	58.66	26.98	64.57	25
J _{CIE}	81.26	-2.16	67.76	67.79	92
G _{CIE}	52.23	-42.25	11.76	43.87	164
B _{CIE}	30.57	1.15	-46.84	46.86	271

Dreiecks-Helligkeit t^*



%Umfang

$u^*_{rel} = 93$

%Regularität

$g^*_{H,rel} = 57$

$g^*_{C,rel} = 59$

Ausgabe: Farbmétrisches Fernseh-Licht-System TLS00

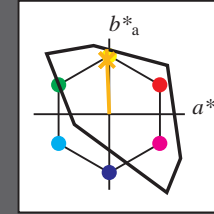
für Buntton $h^* = lab^*h = 92/360 = 0.256$

lab^*tch und lab^*nch

D50: Buntton J

LCH*Ma: 85 86 92

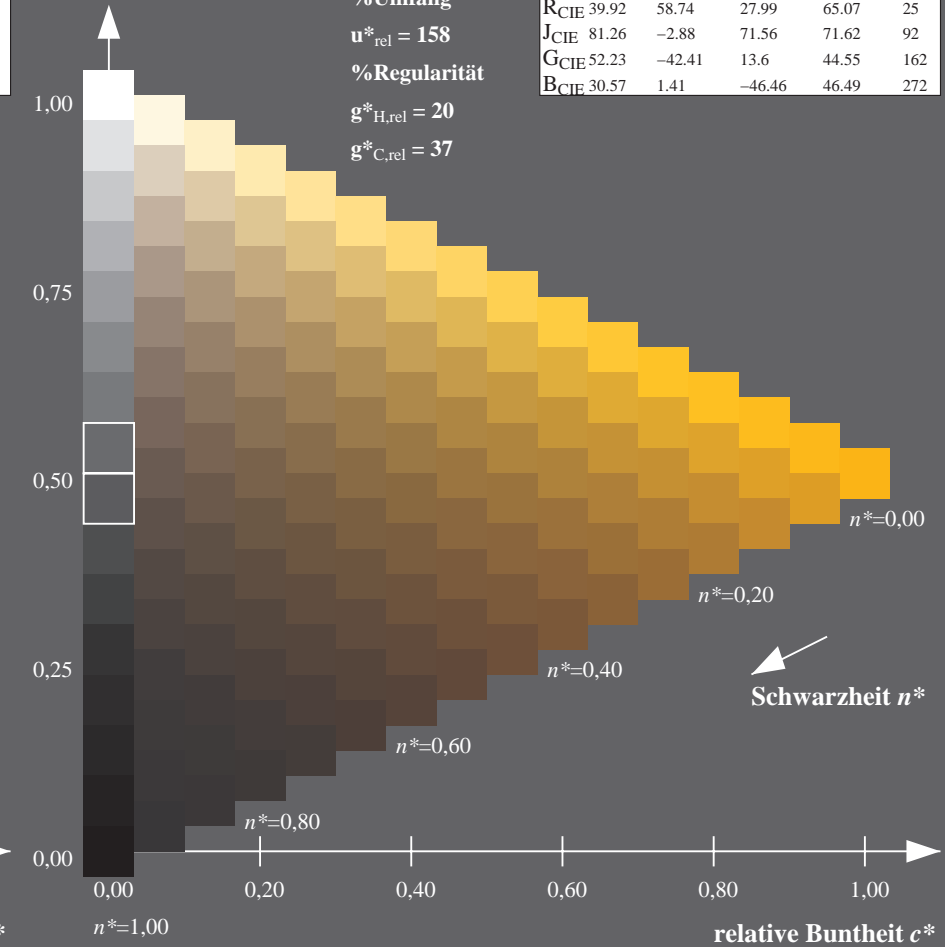
olv*Ma: 1.0 0.82 0.0



TLS00; adaptierte CIELAB-Daten

	$L^*=L^*_a$	a^*_a	b^*_a	$C^*_{ab,a}$	$h^*_{ab,a}$
O _{Ma}	50.5	76.92	64.55	100.42	40
Y _{Ma}	92.66	-20.69	90.75	93.08	103
L _{Ma}	83.63	-82.75	79.9	115.04	136
C _{Ma}	86.88	-46.16	-13.55	48.12	196
V _{Ma}	30.39	76.06	-103.59	128.52	306
M _{Ma}	57.3	94.35	-58.41	110.97	328
N _{Ma}	0.01	0.0	0.0	0.0	0
W _{Ma}	95.41	0.0	0.0	0.0	0
R _{CIE}	39.92	58.74	27.99	65.07	25
J _{CIE}	81.26	-2.88	71.56	71.62	92
G _{CIE}	52.23	-42.41	13.6	44.55	162
B _{CIE}	30.57	1.41	-46.46	46.49	272

Dreiecks-Helligkeit t^*



%Umfang

$u^*_{rel} = 158$

%Regularität

$g^*_{H,rel} = 20$

$g^*_{C,rel} = 37$

QG900-7, 9stufige Reihen für konstanten CIELAB Buntton 92/360 = 0.255 (links)

16stufige Reihen für konstanten CIELAB Buntton 92/360 = 0.256 (rechts)

BAM-Prüfvorlage QG90; Farbmétrik-Systeme ORS18 & TLS00 input: $cmY0^* setcmykcolor$

D50: 9 und 16stufige Farbreihen für 10 Bunttöne

output: $cmY0^*/000n^* setcmykcolor$

Siehe ähnliche Dateien: <http://www.ps.bam.de/QG90/>
 Technische Information: <http://www.ps.bam.de> Version 2.1, io=0,0, CIELAB

BAM-Registrierung: 20060101-QG90/10S/S90G07FP.PS/.PDF BAM-Material: Code=rh4ta
 Anwendung für Beurteilung und Messung von Drucker- oder Monitorssystemen
 /QG90/ Form: 8/10, Serie: 1/1, Seite: 8
 Seitenzahl: 8

Eingabe: Farbmétrisches Offset-Reflektiv-System ORS18

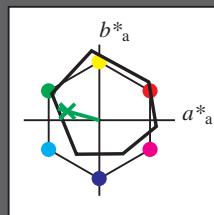
für Buntton $h^* = lab^*h = 164/360 = 0.457$

lab^*tch und lab^*nch

D50: Buntton G

LCH*Ma: 53 57 164

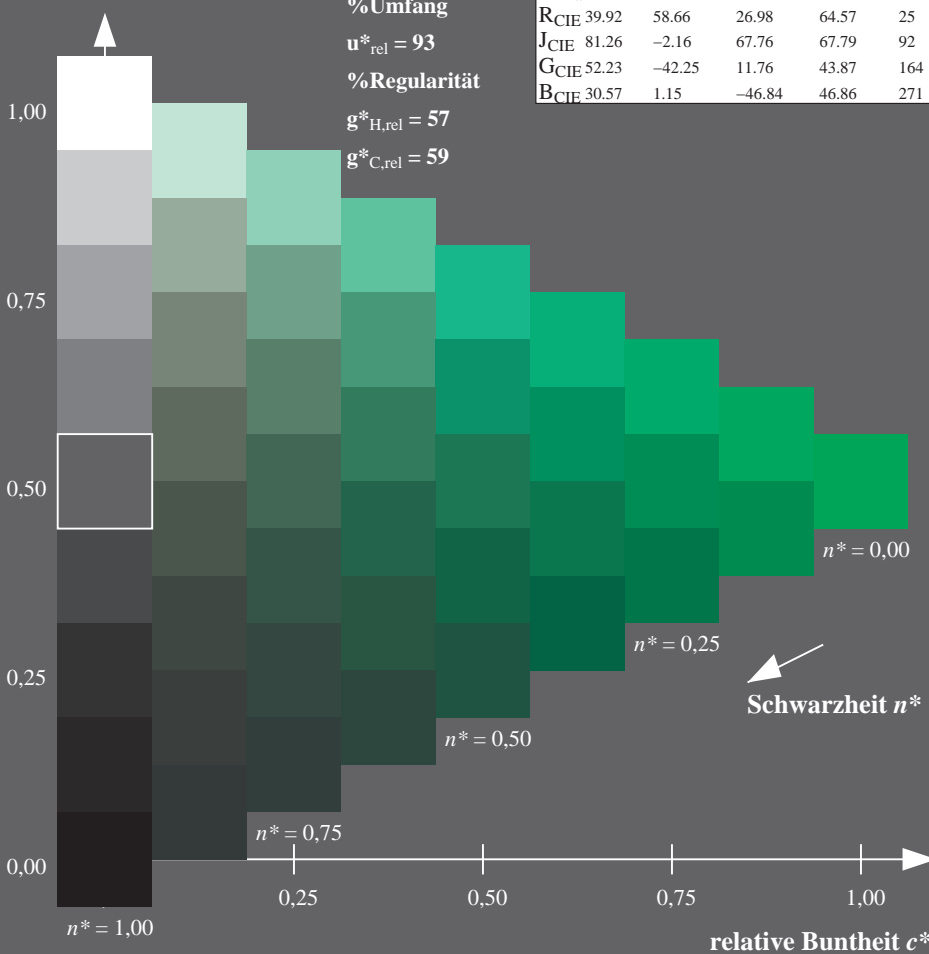
olv*Ma: 0.0 1.0 0.25



ORS18; adaptierte CIELAB-Daten

	$L^*=L^*_a$	a^*_a	b^*_a	$C^*_{ab,a}$	$h^*_{ab,a}$
O _{Ma}	47.94	65.39	50.52	82.63	38
Y _{Ma}	90.37	-10.26	91.75	92.32	96
L _{Ma}	50.9	-62.83	34.96	71.91	151
C _{Ma}	58.62	-30.34	-45.01	54.3	236
V _{Ma}	25.72	31.1	-44.4	54.22	305
M _{Ma}	48.13	75.28	-8.36	75.74	354
N _{Ma}	18.01	0.0	0.0	0.0	0
W _{Ma}	95.41	0.0	0.0	0.0	0
R _{CIE}	39.92	58.66	26.98	64.57	25
J _{CIE}	81.26	-2.16	67.76	67.79	92
G _{CIE}	52.23	-42.25	11.76	43.87	164
B _{CIE}	30.57	1.15	-46.84	46.86	271

Dreiecks-Helligkeit t^*



%Umfang

$u^*_{rel} = 93$

%Regularität

$g^*_{H,rel} = 57$

$g^*_{C,rel} = 59$

Ausgabe: Farbmétrisches Fernseh-Licht-System TLS00

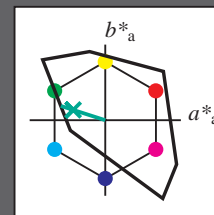
für Buntton $h^* = lab^*h = 162/360 = 0.451$

lab^*tch und lab^*nch

D50: Buntton G

LCH*Ma: 86 62 162

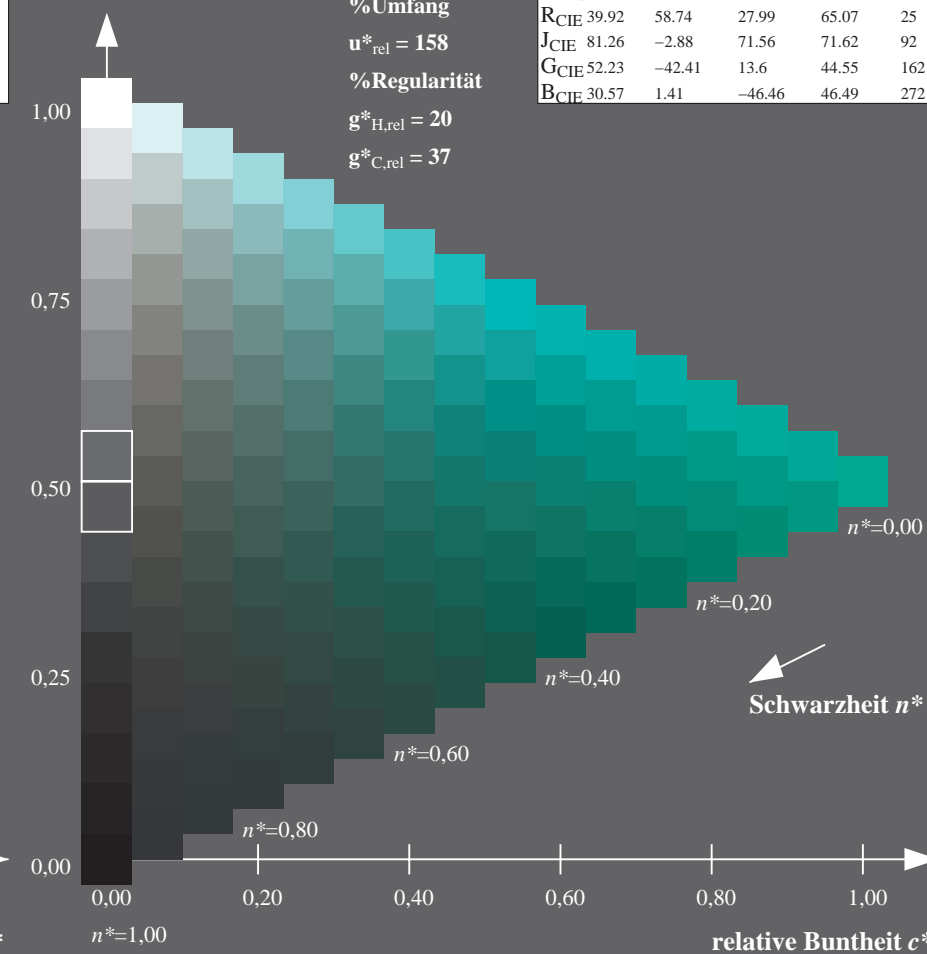
olv*Ma: 0.0 1.0 0.65



TLS00; adaptierte CIELAB-Daten

	$L^*=L^*_a$	a^*_a	b^*_a	$C^*_{ab,a}$	$h^*_{ab,a}$
O _{Ma}	50.5	76.92	64.55	100.42	40
Y _{Ma}	92.66	-20.69	90.75	93.08	103
L _{Ma}	83.63	-82.75	79.9	115.04	136
C _{Ma}	86.88	-46.16	-13.55	48.12	196
V _{Ma}	30.39	76.06	-103.59	128.52	306
M _{Ma}	57.3	94.35	-58.41	110.97	328
N _{Ma}	0.01	0.0	0.0	0.0	0
W _{Ma}	95.41	0.0	0.0	0.0	0
R _{CIE}	39.92	58.74	27.99	65.07	25
J _{CIE}	81.26	-2.88	71.56	71.62	92
G _{CIE}	52.23	-42.41	13.6	44.55	162
B _{CIE}	30.57	1.41	-46.46	46.49	272

Dreiecks-Helligkeit t^*



%Umfang

$u^*_{rel} = 158$

%Regularität

$g^*_{H,rel} = 20$

$g^*_{C,rel} = 37$

QG900-7, 9stufige Reihen für konstanten CIELAB Buntton 164/360 = 0.457 (links)

16stufige Reihen für konstanten CIELAB Buntton 162/360 = 0.451 (rechts)

BAM-Prüfvorlage QG90; Farbmétrik-Systeme ORS18 & TLS00 input: $cmY0^* setcmykcolor$

D50: 9 und 16stufige Farbreihen für 10 Bunttöne

output: $cmY0^*/000n^* setcmykcolor$

Eingabe: Farbmatisches Offset-Reflektiv-System ORS18

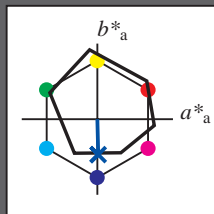
für Buntton $h^* = lab^*h = 271/360 = 0.754$

lab^*tch und lab^*nch

D50: Buntton B

LCH*Ma: 42 45 271

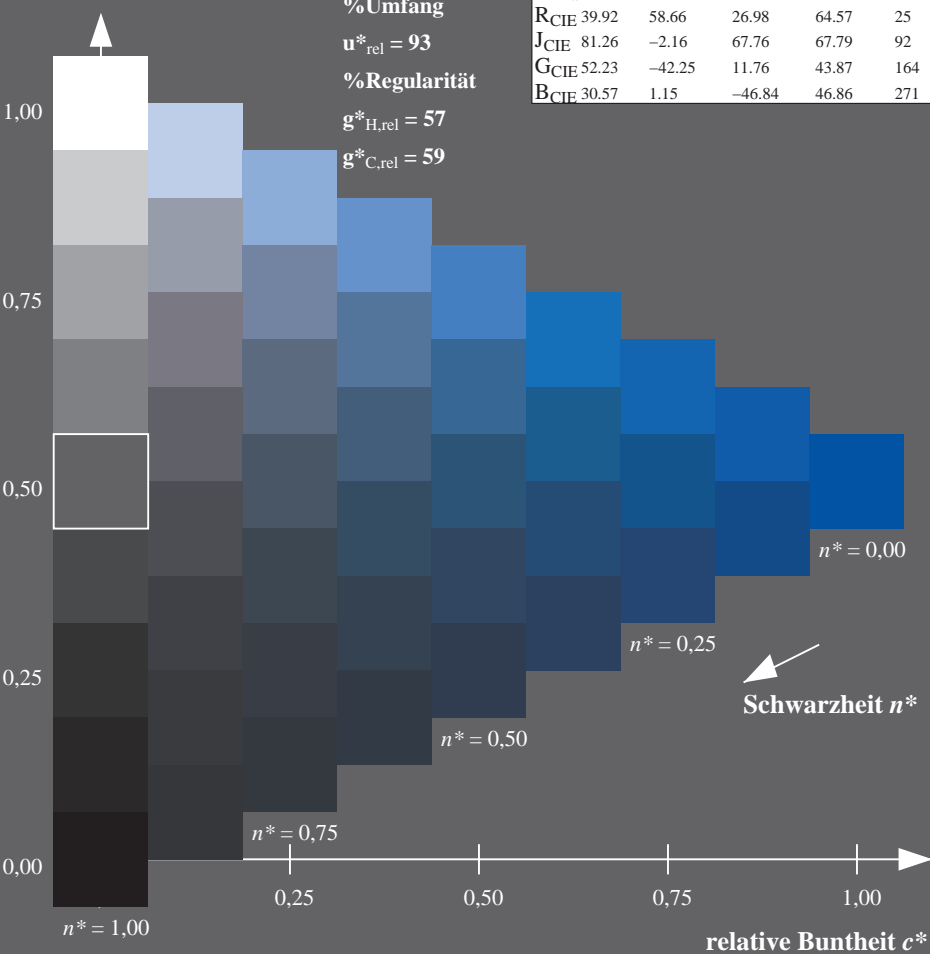
olv*Ma: 0.0 0.49 1.0



ORS18; adaptierte CIELAB-Daten

	$L^*=L^*_a$	a^*_a	b^*_a	$C^*_{ab,a}$	$h^*_{ab,a}$
O _{Ma}	47.94	65.39	50.52	82.63	38
Y _{Ma}	90.37	-10.26	91.75	92.32	96
L _{Ma}	50.9	-62.83	34.96	71.91	151
C _{Ma}	58.62	-30.34	-45.01	54.3	236
V _{Ma}	25.72	31.1	-44.4	54.22	305
M _{Ma}	48.13	75.28	-8.36	75.74	354
N _{Ma}	18.01	0.0	0.0	0.0	0
W _{Ma}	95.41	0.0	0.0	0.0	0
R _{CIE}	39.92	58.66	26.98	64.57	25
J _{CIE}	81.26	-2.16	67.76	67.79	92
G _{CIE}	52.23	-42.25	11.76	43.87	164
B _{CIE}	30.57	1.15	-46.84	46.86	271

Dreiecks-Helligkeit t^*



Ausgabe: Farbmatisches Fernseh-Licht-System TLS00

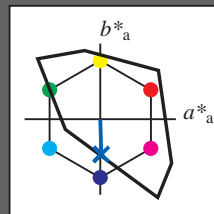
für Buntton $h^* = lab^*h = 272/360 = 0.755$

lab^*tch und lab^*nch

D50: Buntton B

LCH*Ma: 65 49 272

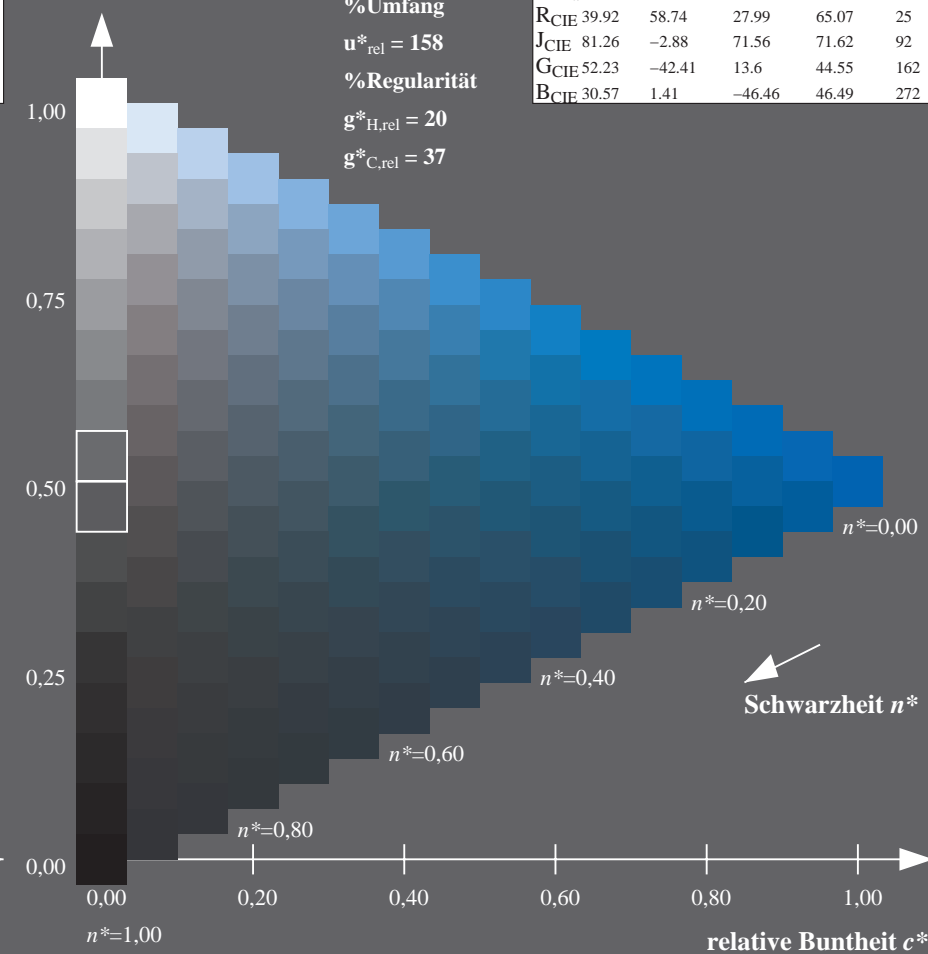
olv*Ma: 0.0 0.61 1.0



TLS00; adaptierte CIELAB-Daten

	$L^*=L^*_a$	a^*_a	b^*_a	$C^*_{ab,a}$	$h^*_{ab,a}$
O _{Ma}	50.5	76.92	64.55	100.42	40
Y _{Ma}	92.66	-20.69	90.75	93.08	103
L _{Ma}	83.63	-82.75	79.9	115.04	136
C _{Ma}	86.88	-46.16	-13.55	48.12	196
V _{Ma}	30.39	76.06	-103.59	128.52	306
M _{Ma}	57.3	94.35	-58.41	110.97	328
N _{Ma}	0.01	0.0	0.0	0.0	0
W _{Ma}	95.41	0.0	0.0	0.0	0
R _{CIE}	39.92	58.74	27.99	65.07	25
J _{CIE}	81.26	-2.88	71.56	71.62	92
G _{CIE}	52.23	-42.41	13.6	44.55	162
B _{CIE}	30.57	1.41	-46.46	46.49	272

Dreiecks-Helligkeit t^*



QG900-7, 9stufige Reihen für konstanten CIELAB Buntton 271/360 = 0.754 (links)

16stufige Reihen für konstanten CIELAB Buntton 272/360 = 0.755 (rechts)

BAM-Prüfvorlage QG90; Farbmatrik-Systeme ORS18 & TLS00 input: $cmy0^* setcmykcolor$

D50: 9 und 16stufige Farbreihen für 10 Bunttöne

output: $cmy0^*/000n^* setcmykcolor$

Siehe ähnliche Dateien: <http://www.ps.bam.de/QG90/>
 Technische Information: <http://www.ps.bam.de> Version 2.1, io=0,0, CIELAB

BAM-Registrierung: 20060101-QG90/10S/S90G09FP.PS/.PDF BAM-Material: Code=rh4ta
 Anwendung für Beurteilung und Messung von Drucker- oder Monitorssystemen
 /QG90/ Form: 10105Ser: 1/1, Seite: 10
 Scherzhang 10